

Fig. 1

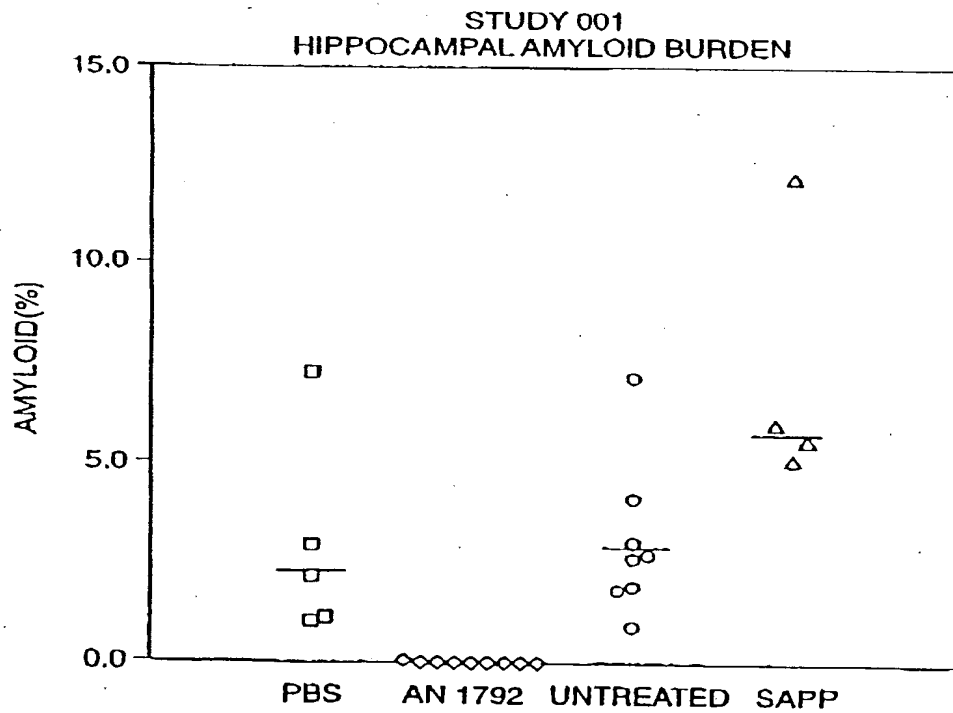


Fig. 2

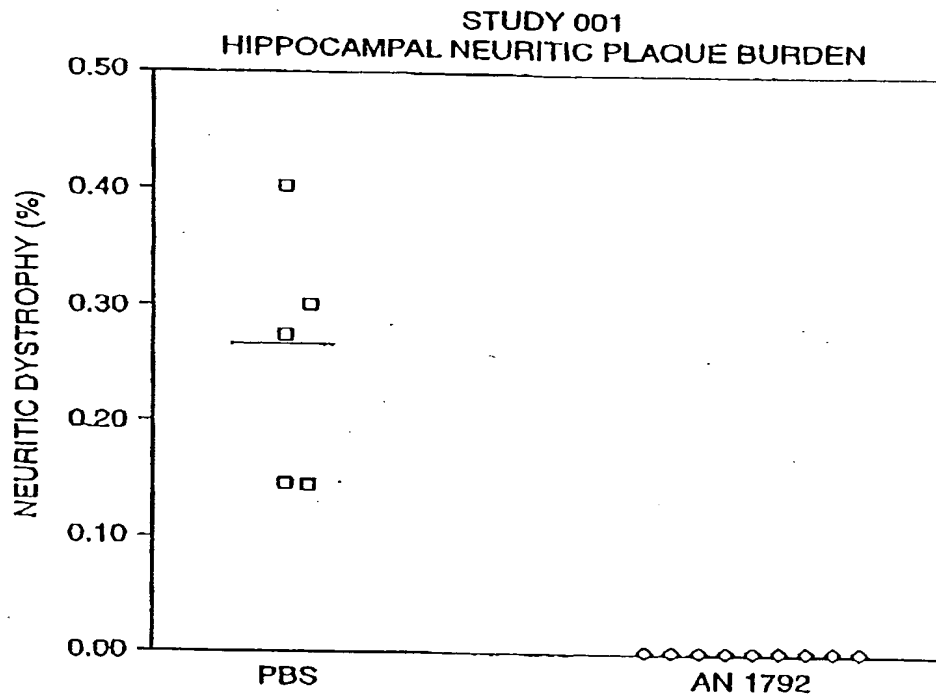


Fig. 3

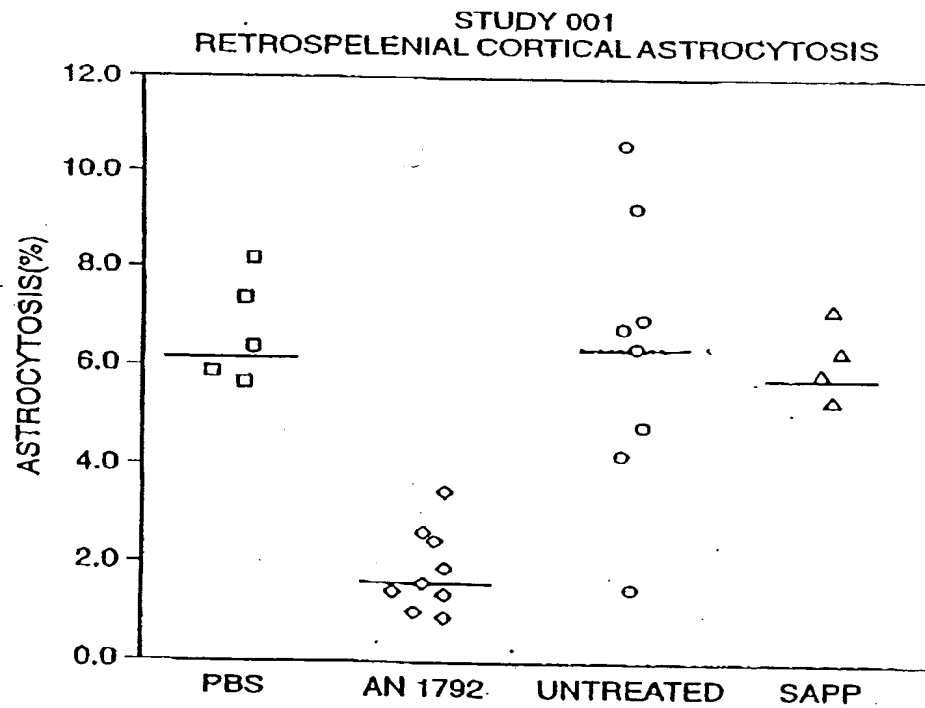


Fig. 4

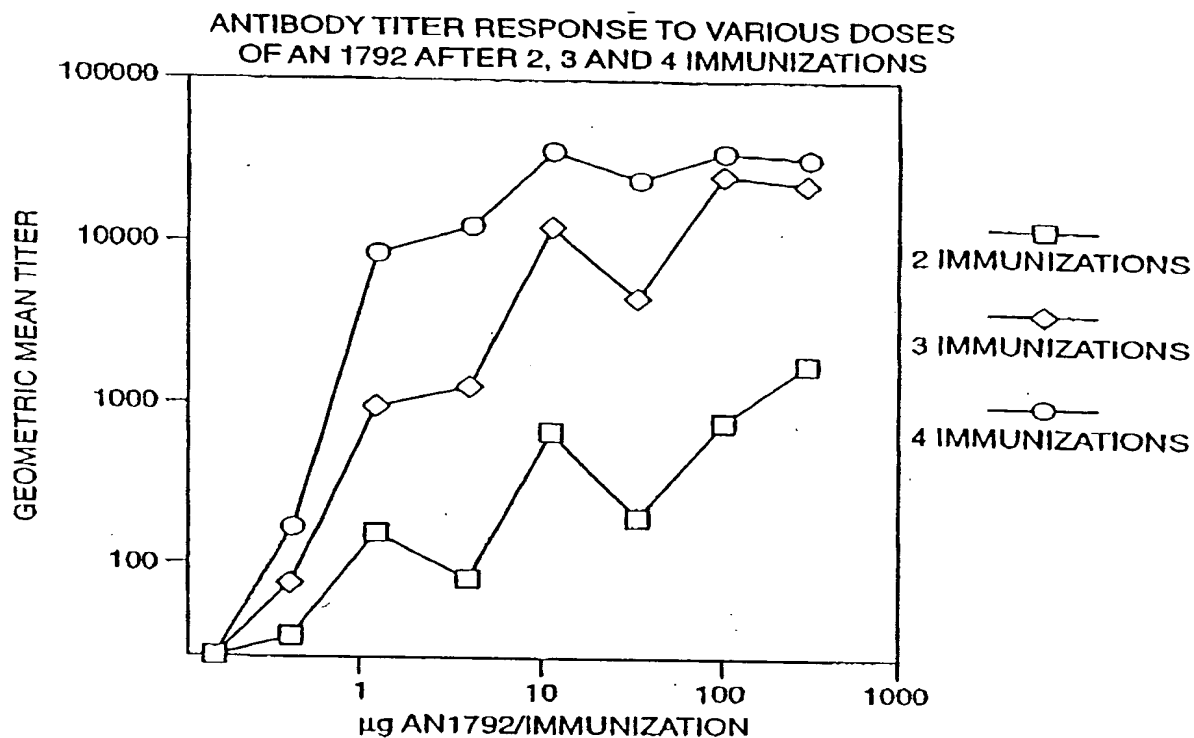


Fig. 5

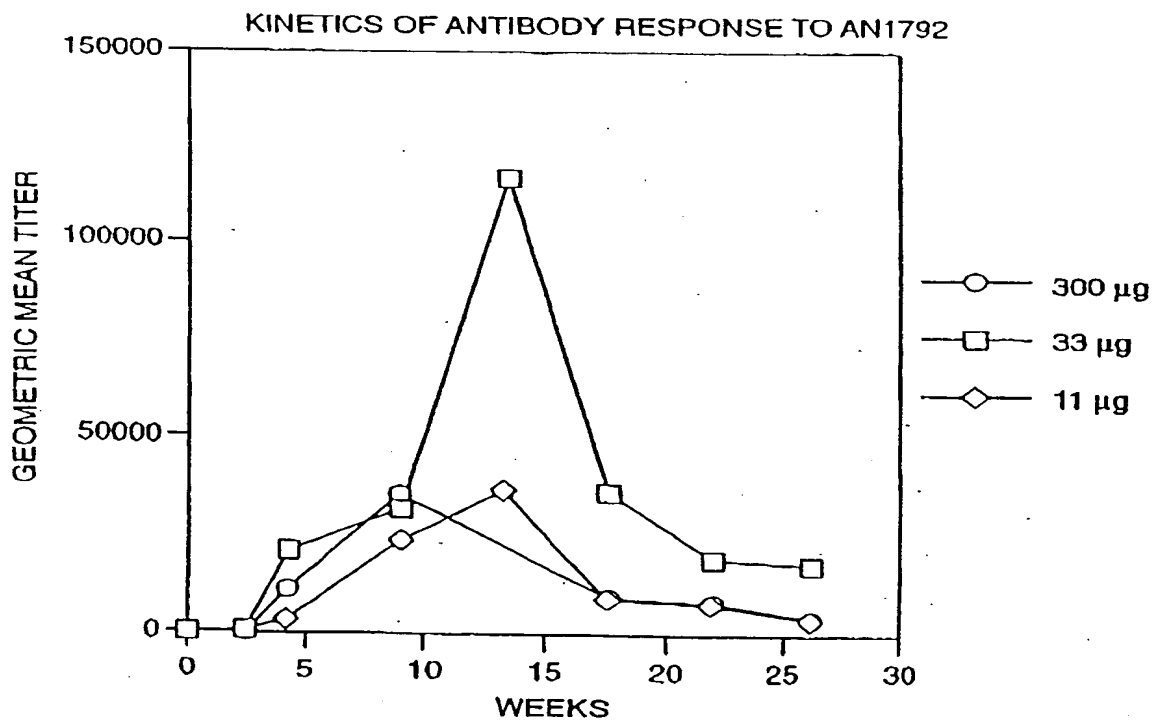
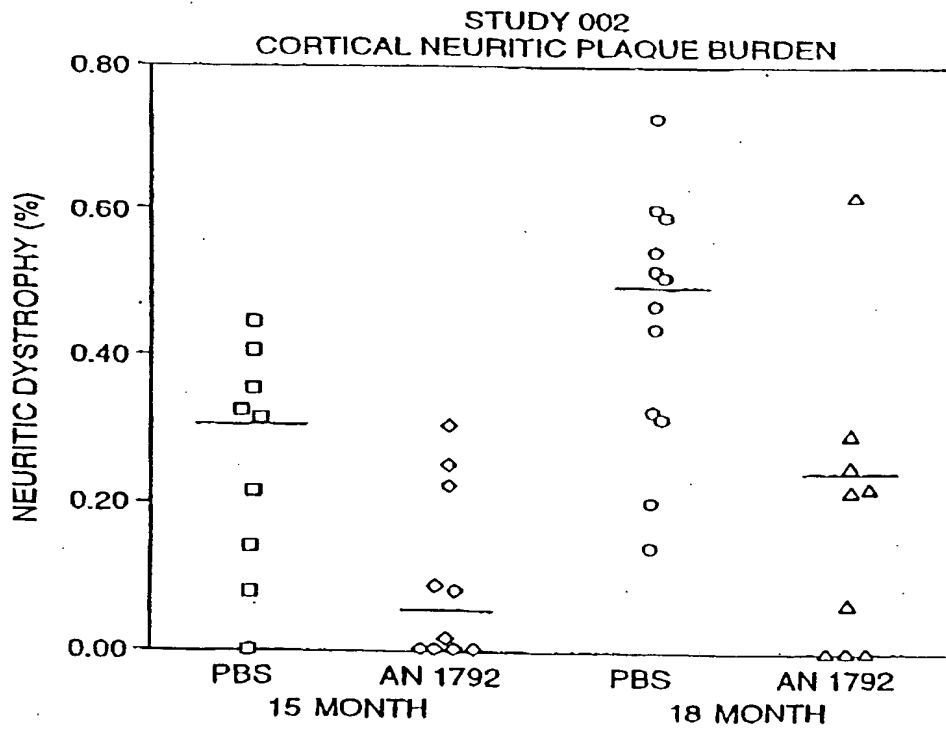
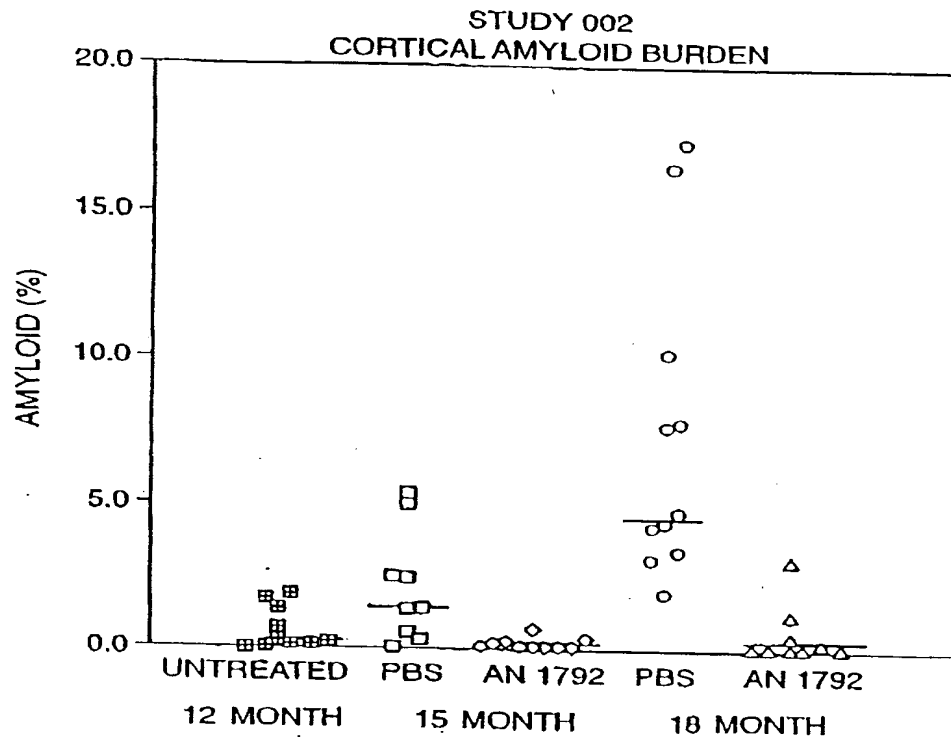


Fig. 6

008217" E5642260



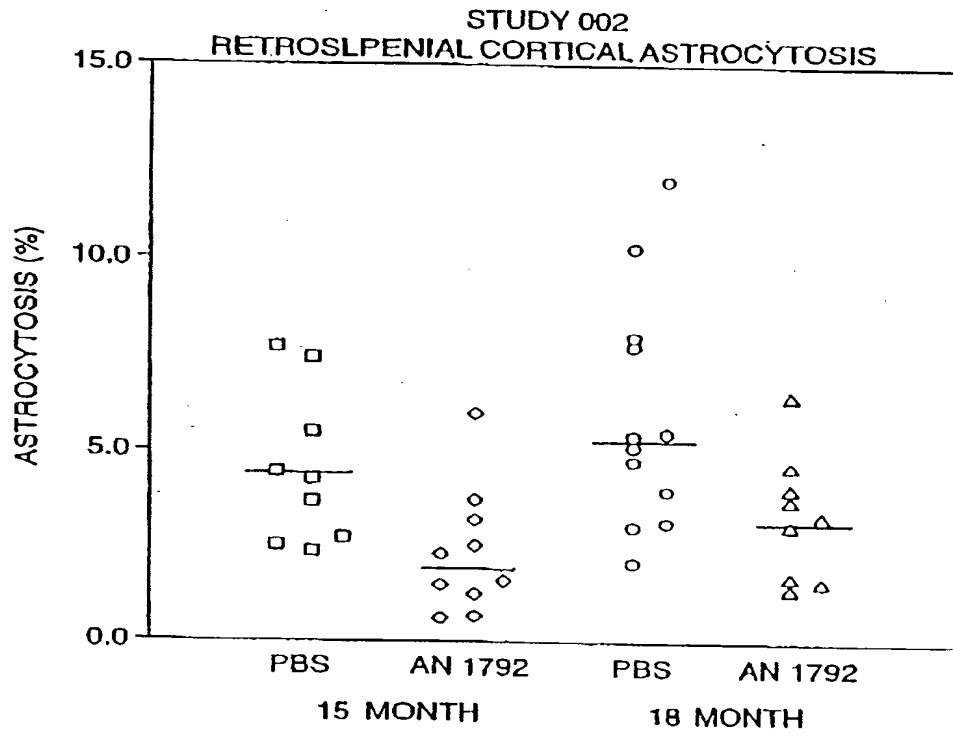


Fig. 9

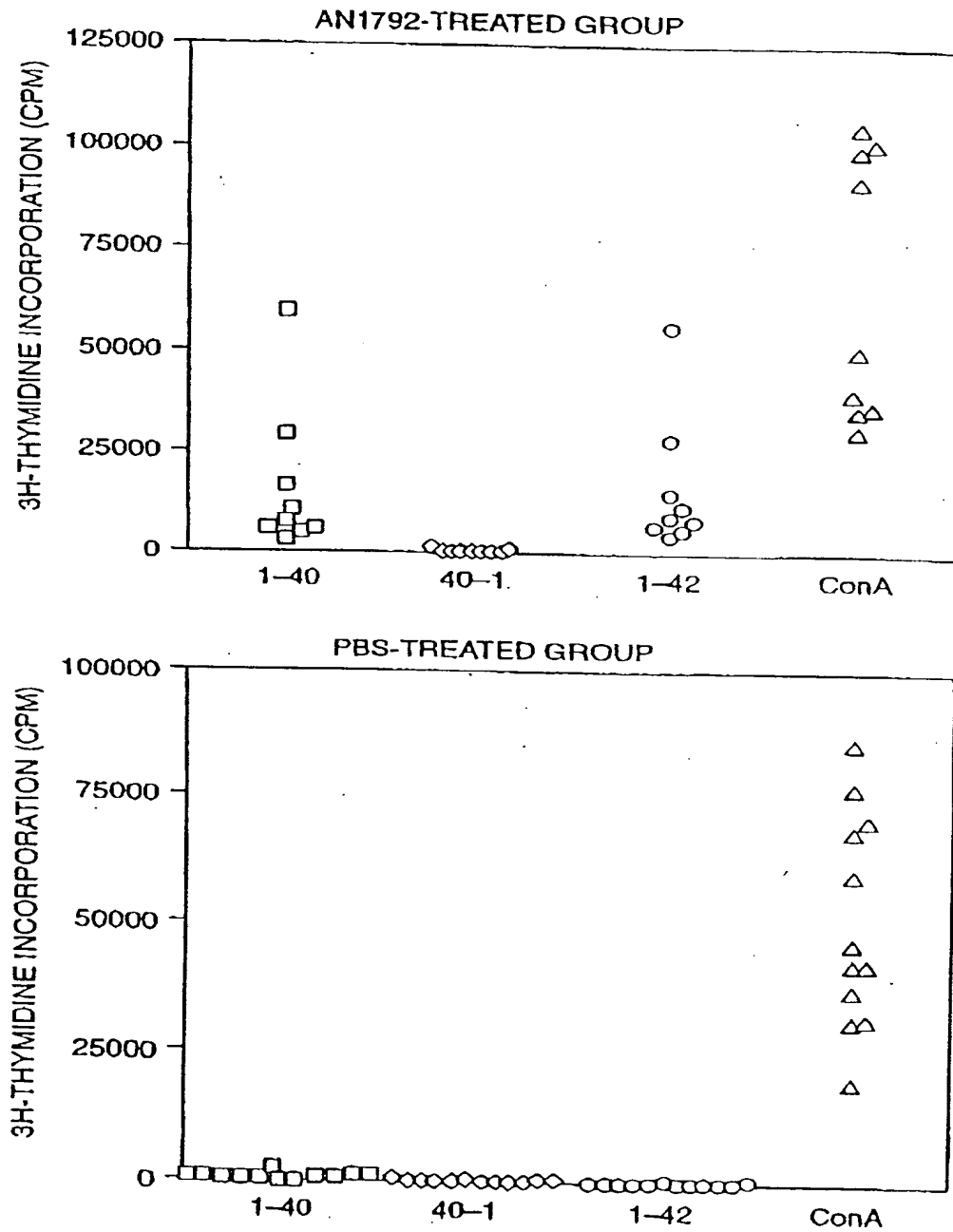
STUDY 002
RETROSLPENIAL CORTICAL ASTROCYTOSIS

Fig. 10

STUDY 006
THERAPEUTIC EFFICACY OF A β FRAGMENTS
TOTAL A β CORTICAL DATA

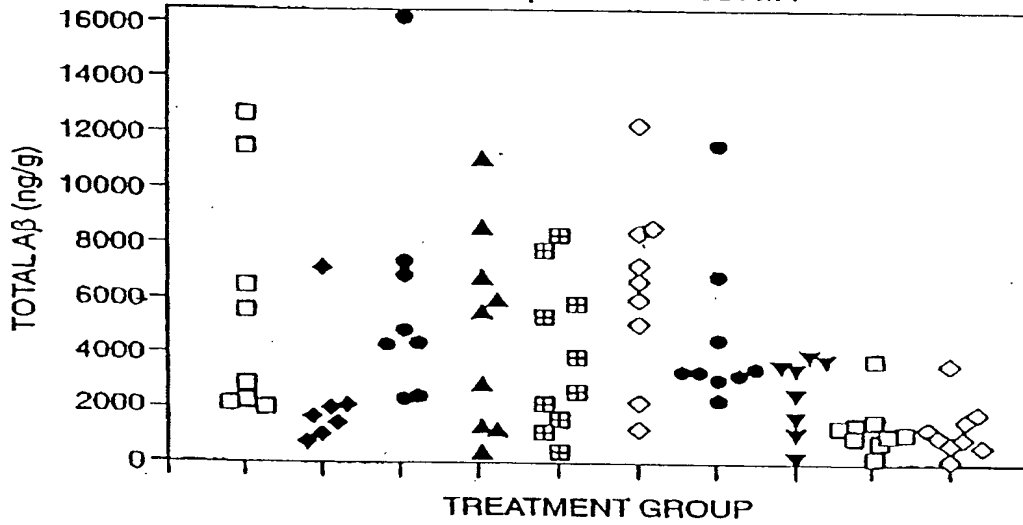


Fig. 11

STUDY 006
CORTICAL AMYLOID BURDEN

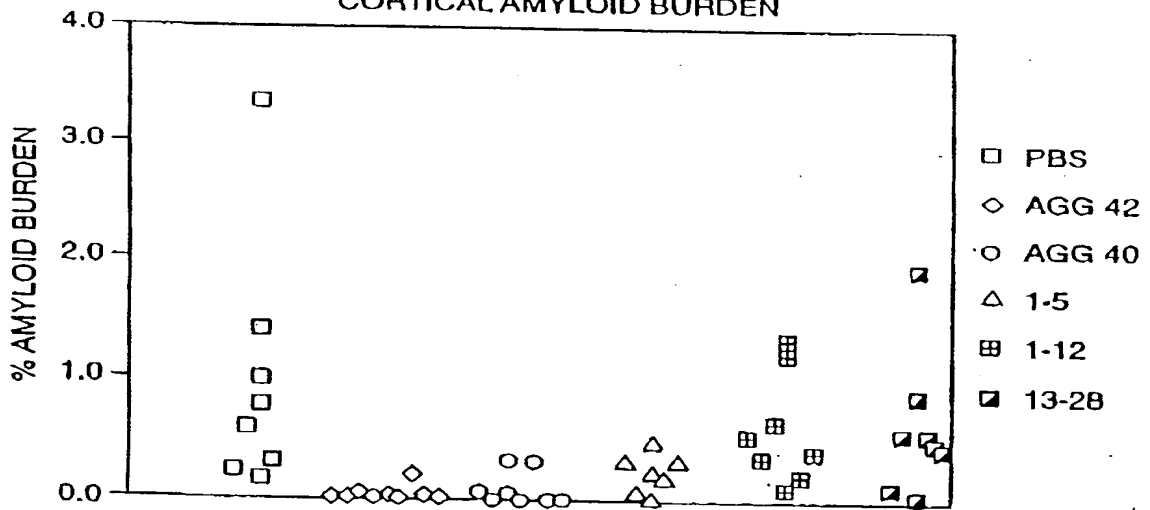


Fig. 12

000211" E561260

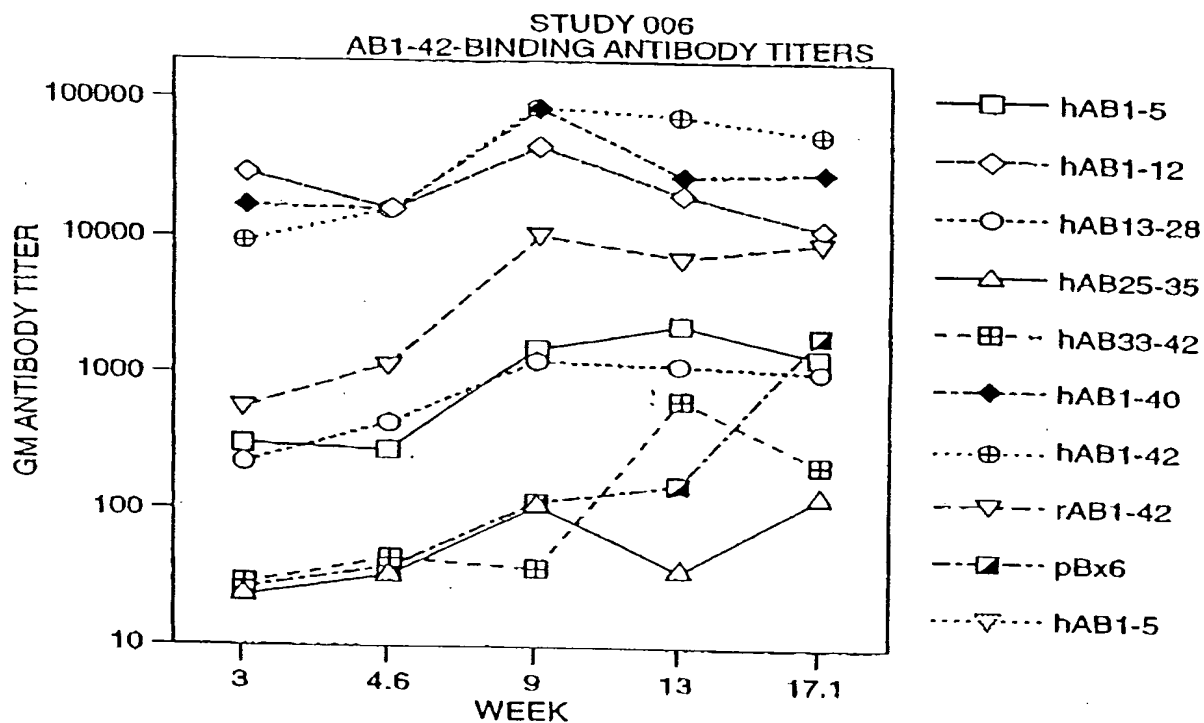


Fig. 13

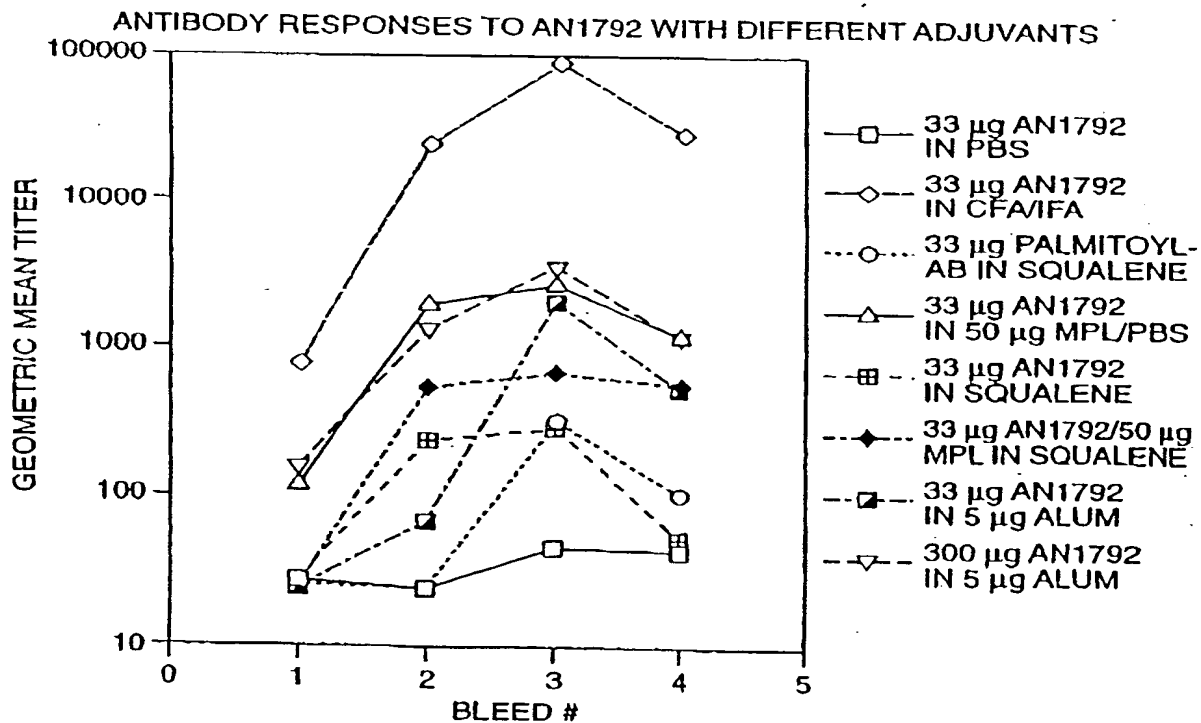


Fig. 14

CORTEX

PBS CONTROL		UNTREATED CONTROL	
624-165	272	764-181	3470
625-166	1802	785-182	171
626-167	62	766-183	91
633-168	4696	767-184	6692
634-169	3090	768-185	1353
671-170	2417	771-186	1153
672-171	2840	772-187	3800
829-172	3320	780-188	3740
830-173	1833	843-189	163
831-174	416	844-190	122
792-175	126	845-191	427
793-176	2559	846-192	2674
794-177	289	887-193	453
732-178	179	888-194	2996
733-179	1329	889-195	1075
734-180	5665		
MEDIAN p VALUE (M-W)	1817	MEDIAN p VALUE (M-W)	1153
MEAN ST. DEV. % CV p VALUE (t TEST)	1931 1718 89 n=16	MEAN ST. DEV. % CV p VALUE (t TEST)	1825 1769 97 n=15

Fig. 15A

000211" 0564260

CORTEX

2 mg ALUM 100 µg AN1528		50 µg MPL 100 µg AN1528	
660-083	295	643-105	385
661-084	3180	644-106	2640
662-085	2480	645-107	2403
663-086	3014	654-108	1741
664-087	5870	655-109	3053
665-088	5978	656-110	5990
693-089	1620	678-111	3360
694-090	35	679-112	1230
695-091	3400	704-114	2680
697-092	2630	705-115	78
698-093	983	706-116	1290
699-094	5327	729-117	3180
701-095	1862	730-118	1833
702-096	1849	731-119	4590
703-097	2239	736-120	1112
739-098	806	737-121	1653
740-099	5303	757-122	992
741-100	459	758-123	4692
800-103	154	808-124	785
801-104	852	809-125	244
		810-126	32
MEDIAN p MALUE (M-W)	2051	MEDIAN p MALUE (M-W)	1741
MEAN ST. DEV. % CV p VALUE (t TEST)	2407 1913 79 n=20	MEAN ST. DEV. % CV p VALUE (t TEST)	2140 1659 78 n=21

Fig. 15B

008277" E5642260

CORTEX

25 µg QS21 100 µg AN1528		CEA/IFA 100 µg AN1792	
615-128	1257	539-068	693
616-129	361	640-069	508
617-130	1008	641-070	440
536-131	3290	642-071	467
637-132	2520	690-072	42
638-133	3880	691-073	2491
744-134	627	692-074	121
745-135	58	795-075	137
746-136	2610	796-076	822
747-137	1509	797-077	475
769-138	1788	748-087	600
770-139	988	749-079	78
773-140	1199	750-080	1267
774-141	339	751-081	1351
775-142	402	761-082	69
776-143	537		
840-144	1119		
841-145	194		
821-146	1259		
822-147	5413		
823-148	2233		
MEDIAN p VALUE (M-W)	1199	MEDIAN p VALUE (M-W)	475 0.0481
MEAN ST. DEV. % CV p VALUE (t TEST)	1552 1364 88 n=21	MEAN ST. DEV. % CV p VALUE (t TEST)	637 655 103 0.0106 n=15

Fig. 15C

008217" 5564260

CORTEX

5 µg THIMEROSAL/PBS 10 µg AN1792		2 µg ALUM 100 µg AN1792	
635-149	1337	610-001	432
669-150	4644	611-002	1012
670-151	6335	612-003	3607
673-152	3700	613-004	508
674-153	2750	620-005	465
676-154	1687	621-006	16
681-156	185	622-007	28
682-157	8031	623-008	217
683-158	3450	708-009	2738
754-159	157	709-010	927
755-160	6857	710-011	1609
756-161	482	716-012	1608
805-162	524	784-014	3890
806-163	397	785-015	1614
807-164	234	786-018	285
		787-017	3102
		788-018	1617
		789-019	1474
		815-020	424
		816-021	1375
		817-022	2323
MEDIAN p VALUE (M-W)	1687	MEDIAN p VALUE (M-W)	1375 0.5000
MEAN ST. DEV. % CV p VALUE (t TEST)	2718 2685 99 n=15	MEAN ST. DEV. % CV p VALUE (t TEST)	1394 1166 84 0.2650 n=21

Fig. 15D

CORTEX

50 µg MPL 100 µg AN1792		25 µg QS21 100 µg AN1792	
646-023	2002	627-045	91
647-024	147	628-046	3397
648-025	1304	631-049	3702
649-026	34	632-050	1776
650-027	980	667-052	1832
724-028	1282	668-053	3023
726-030	1966	686-054	189
727-031	733	687-055	891
720-032	2563	688-056	240
721-033	5563	689-057	110
802-034	113	712-059	3311
803-035	671	825-061	1009
804-036	51	826-082	18165
811-037	613	827-063	73
812-038	332	828-064	78
813-039	1454	837-065	1051
814-040	2441	838-066	270
833-014	742	839-067	371
834-042	40		
836-044	807		
MEDIAN p VALUE (M-W)	774 0.1710	MEDIAN p VALUE (M-W)	950 0.4076
MEAN ST. DEV. % CV p VALUE (t TEST)	1192 1299 109 0.1506 n=21	MEAN ST. DEV. % CV p VALUE (t TEST)	2199 4187 190 0.8131 n=18

Fig. 15E

008217" 05642260

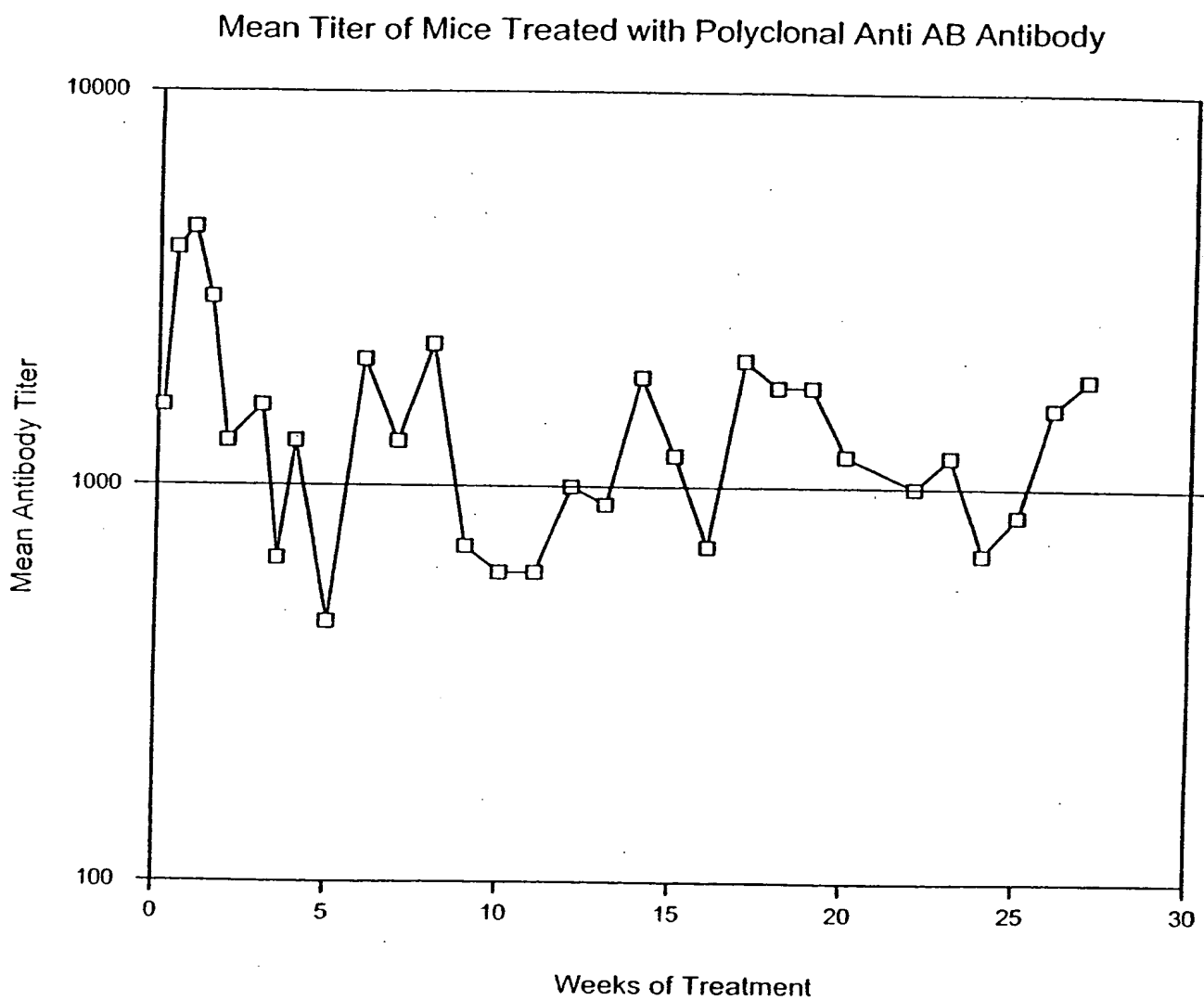


Fig. 16

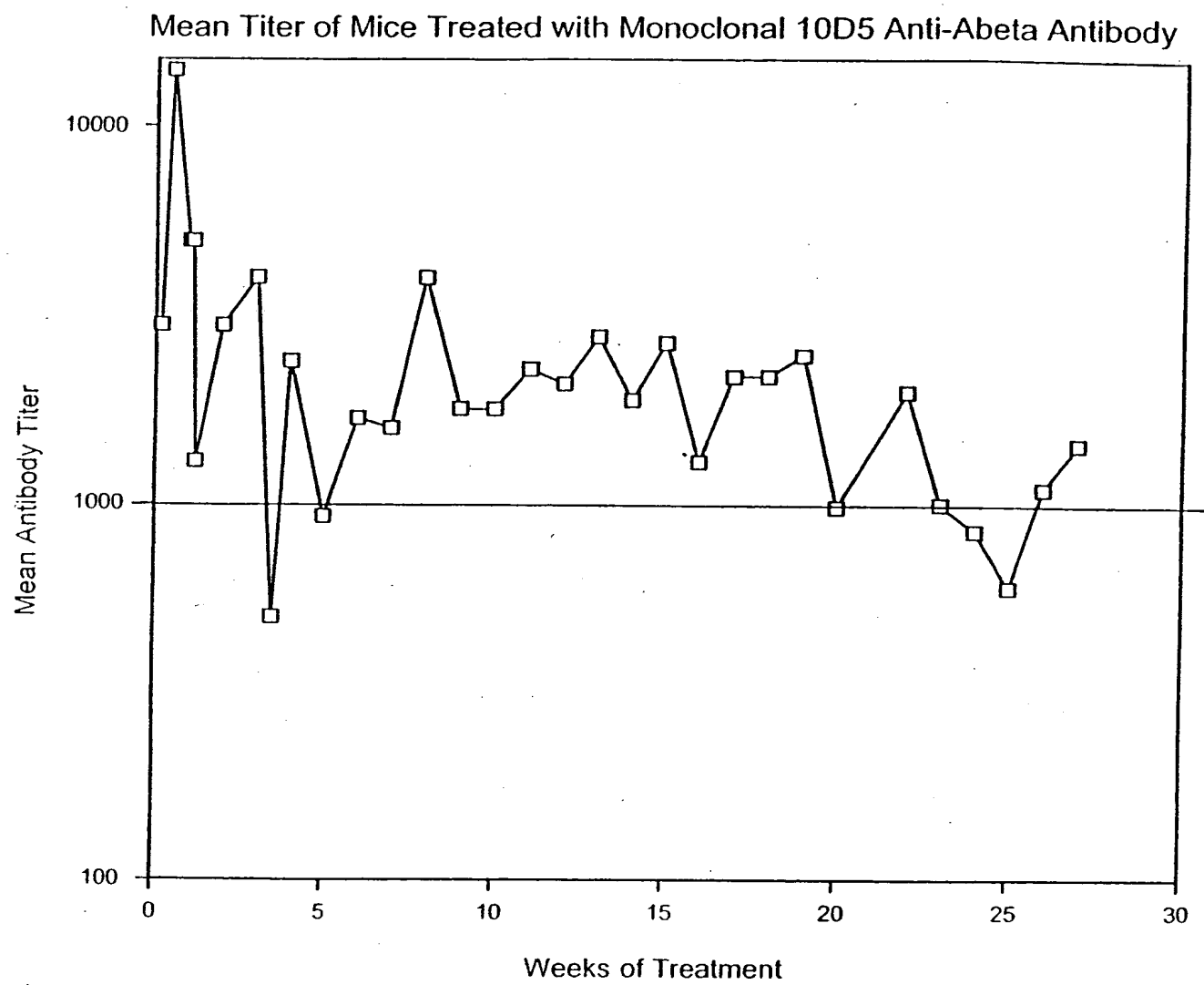


Fig. 17

Mean Titer of Mice Treated with Monoclonal
21F12 Anti-Abeta Antibody

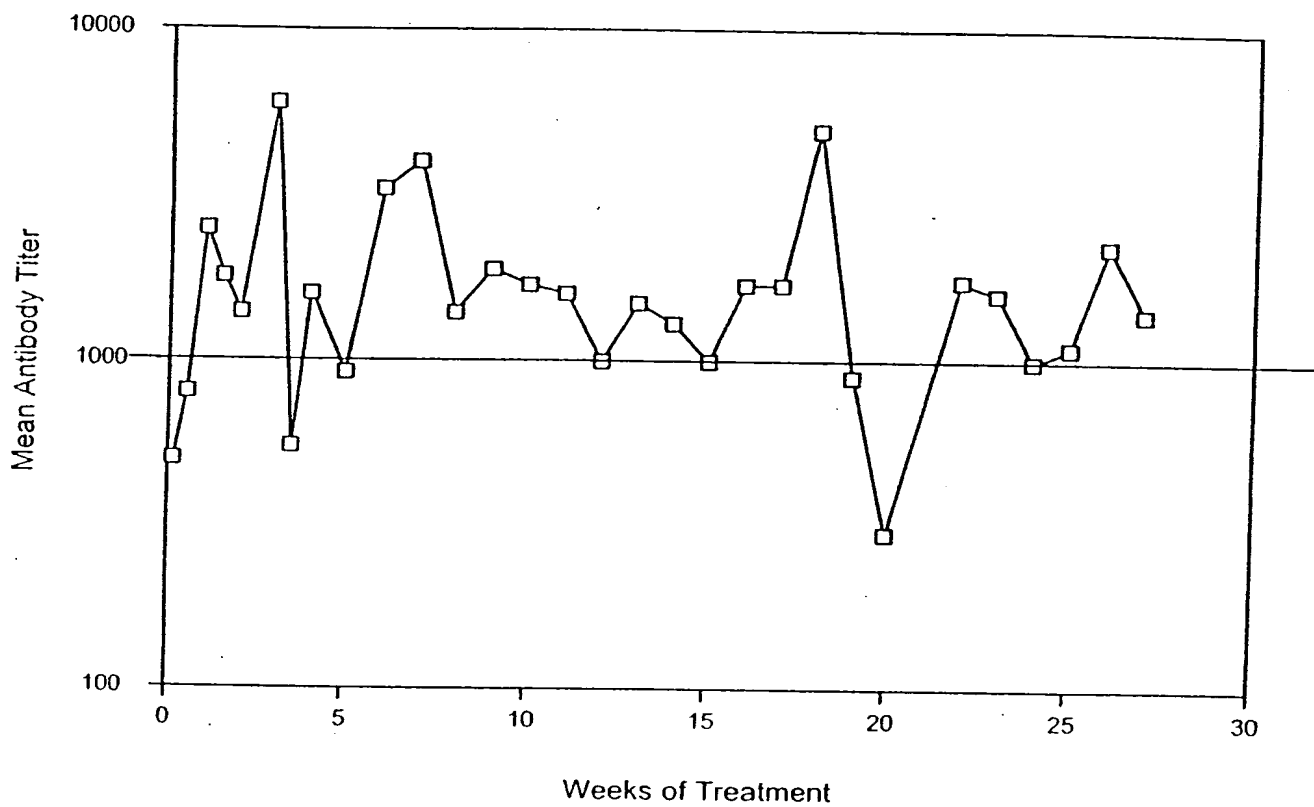


Fig. 18